

САНКТ-ПЕТЕРБУРГСКИЙ ПОЛИТЕХНИЧЕСКИЙ  
УНИВЕРСИТЕТ им. ПЕТРА ВЕЛИКОГО  
ИНСТИТУТ ПРИКЛАДНОЙ МАТЕМАТИКИ И МЕХАНИКИ  
КАФЕДРА ПРИКЛАДНАЯ МАТЕМАТИКА

ЛАБОРАТОРНАЯ РАБОТА №5  
ЭМИССИОННАЯ ТОМОГРАФИЯ ПЛАЗМЫ.  
РЕШЕНИЕ ИСЛАУ

по дисциплине: ВЫЧИСЛИТЕЛЬНЫЕ КОМПЛЕКСЫ

Студент группы 3630102/60201

Митрофанова А.Г.

Преподаватель

Баженов А.Н.

Санкт-Петербург  
2020 год

# Содержание

<b>1</b>	<b>Постановка задачи</b>	<b>3</b>
<b>2</b>	<b>Теория</b>	<b>3</b>
2.1	Функция <i>tol solvty</i> . . . . .	3
2.2	Оценка вариабельности <i>IVE</i> . . . . .	3
<b>3</b>	<b>Реализация</b>	<b>3</b>
<b>4</b>	<b>Результаты</b>	<b>3</b>
4.1	Простой способ решения . . . . .	4
4.2	Решение <i>tol solvty</i> . . . . .	4
4.3	Оценка числа обусловленности интервальной матрицы <i>A</i> . . . . .	6
<b>5</b>	<b>Обсуждение</b>	<b>7</b>
<b>6</b>	<b>Литература</b>	<b>7</b>
<b>7</b>	<b>Приложение</b>	<b>7</b>
7.1	main.m . . . . .	7

# Список иллюстраций

1	Гистограмма собственных чисел матрицы $A^T A$ . . . . .	4
2	График первой попытки решения с помощью функции <i>tol solvty</i> . . . . .	4
3	График второй попытки решения с помощью функции <i>tol solvty</i> . . . . .	5
4	График полученного решения от <i>i</i> с помощью функции <i>tol solvty</i> . . . . .	5
5	Гистограмма решения, полученного с помощью функции <i>tol solvty</i> . . . . .	6
6	Значения числа обусловленности при изменении числа итераций . . . . .	6
7	Значения числа обусловленности при изменении радиуса элементов . . . . .	7

# 1 Постановка задачи

Ставится задача решения ИСЛАУ

$$Ax = b \quad (1)$$

где  $A$  – матрица хорд,  $b$  – значения детектора.

Решить полученную ИСЛАУ (1) двумя способами:

- $x = (A^T A)^{-1} A^T b$
- Используя функцию *tosolvtv*

## 2 Теория

Для построения ИСЛАУ правую часть (1) представим в виде интервала:

$$Ax = [\underline{b}, \bar{b}] \quad (2)$$

где  $\underline{b}$  – минимум  $b$  в некотором окне радиуса  $K$ ,  $\bar{b}$  – максимум  $b$  в некотором окне радиуса  $K$ , где рассматриваются показатели детектора во временные интервалы с "текущий" –  $K$  до "текущий" +  $K$ .

### 2.1 Функция *tosolvtv*

Функция

`function [tolmax,argmax,envs,ccode] = tosolvtv(infA,supA,infb,supb,varargin)`

выдаёт значение максимума распознающего функционала *tolmax* множества для интервальной системы линейных уравнений (1), у которой матрицы нижних и верхних концов элементов  $A$  равны *infA* и *supA* соответственно, а векторы нижних и верхних концов правой части  $b$  равны *infb* и *supb* соответственно. Дополнительно процедура выводит аргумент *argmax* – доставляющий *tolmax* вектор значений аргумента, который лежит в допусковом множестве решений при *tolmax*  $\geq 0$ .

Если *tolmax*  $< 0$ , то допусковое множество решений системы пусто. В таком случае ослабляем условия, расширяем интервал  $[\underline{b}, \bar{b}]$  так, чтобы допусковое решение было не пусто  $[\underline{b} - \Delta b, \bar{b} + \Delta b]$ . Для получения решения достаточно взять  $\Delta b = |tolmax|$ .

### 2.2 Оценка вариабельности *IVE*

$$IVE(\mathbf{A}, \mathbf{b}) = \sqrt{n} \max_{\mathbb{R}^n} Tol \cdot \left( \min_{A \in \mathbf{A}} cond_2 A \right) \cdot \frac{\|arg \max_{\mathbb{R}^n} Tol\|_2}{\|\mathbf{b}\|_2} \quad (3)$$

## 3 Реализация

Реализация осуществлена на языке программирования MATLAB в среде разработки MATLAB Online R2019b.

Для считывания информации о сепаратрисе из g-файла была использована функция *gfile\_extractor\_1t* [2].

## 4 Результаты

Рассматривается набор данных 37000, временной интервал 000162.

Число обусловленности матрицы  $A$

$$cond(A) = 4.77 \cdot 10^{16}$$

Число обусловленности матрицы  $A^T A$

$$cond(A^T A) = 2.79 \cdot 10^{35}$$

## 4.1 Простой способ решения

Матрица  $A$  сильно разрежена, поэтому собственные числа матрицы  $A^T A$  сконцентрированы около нуля

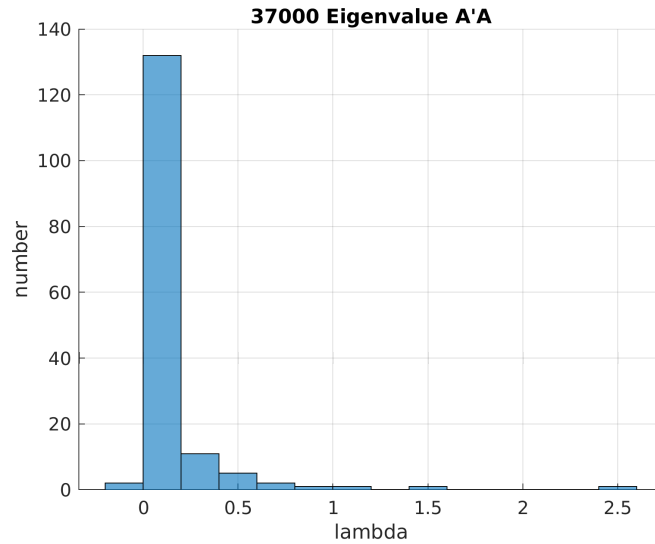


Рис. 1: Гистограмма собственных чисел матрицы  $A^T A$

Всего 22 собственных числа больше 0.2.

Ввиду того, что число обусловленности очень большое, надежда найти обратную матрицу почти отсутствует. Поэтому в качестве решения *Matlab* получен вектор, состоящий из *NaN*.

## 4.2 Решение *tolstolty*

Для нахождения интервала  $b$  выбрано окно радиуса  $K = 1$ .

При первой попытке решения с помощью функции *tolstolty* получили  $tolmax = -169.0752$ . Т.к.  $tolmax < 0$ , то допустимое множество решений интервальной линейной системы пусто.

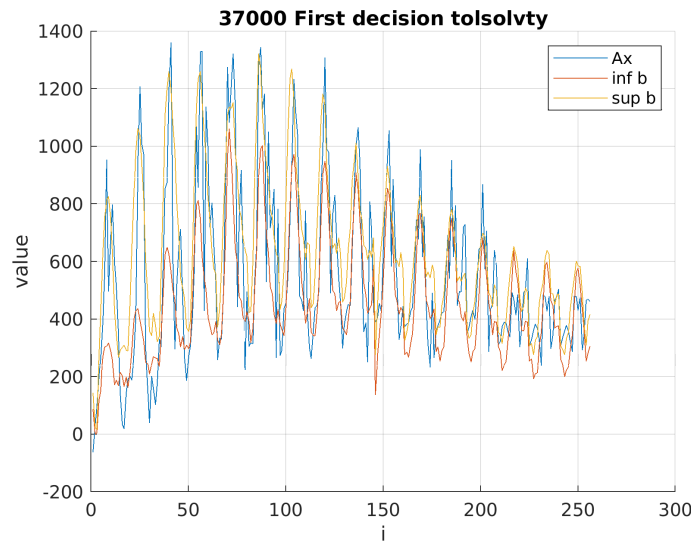


Рис. 2: График первой попытки решения с помощью функции *tolstolty*

Расширим  $b$ , выбрав  $\Delta b = 169.0752$ .

При второй попытке решения с помощью функции ***tolstolvt*** получили  $tolmax = 0.0028$ . Т.к.  $tolmax \geq 0$ , то допустимое множество решений интервальной линейной системы непусто.

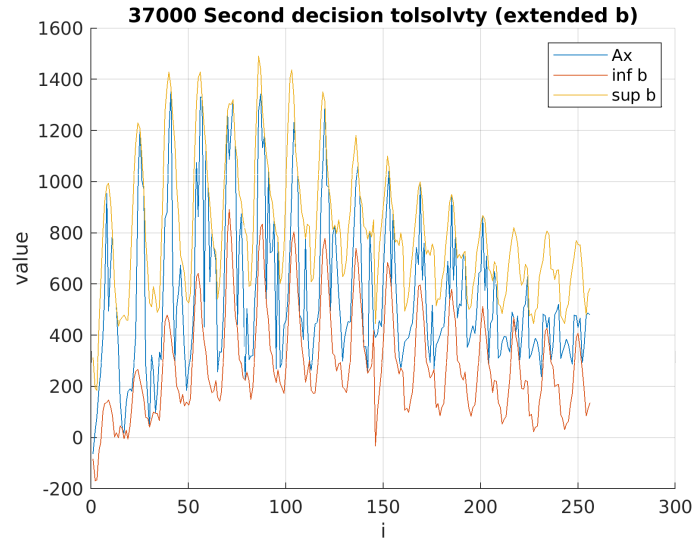


Рис. 3: График второй попытки решения с помощью функции ***tolstolvt***

Посмотрим на решение на графике:

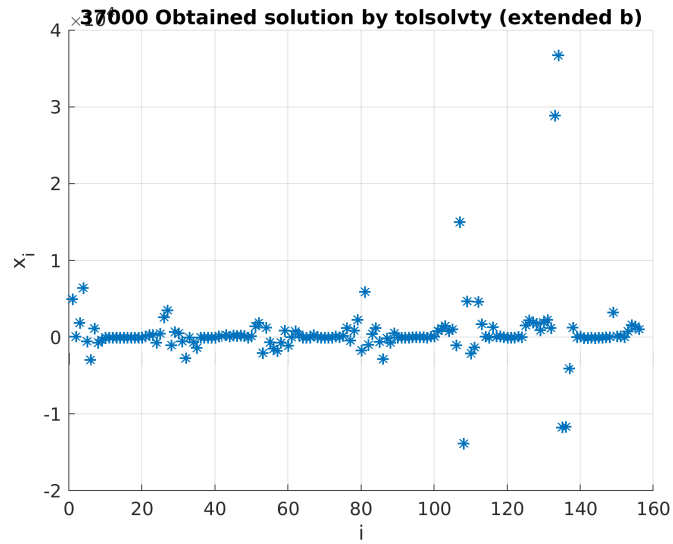


Рис. 4: График полученного решения от  $i$  с помощью функции ***tolstolvt***

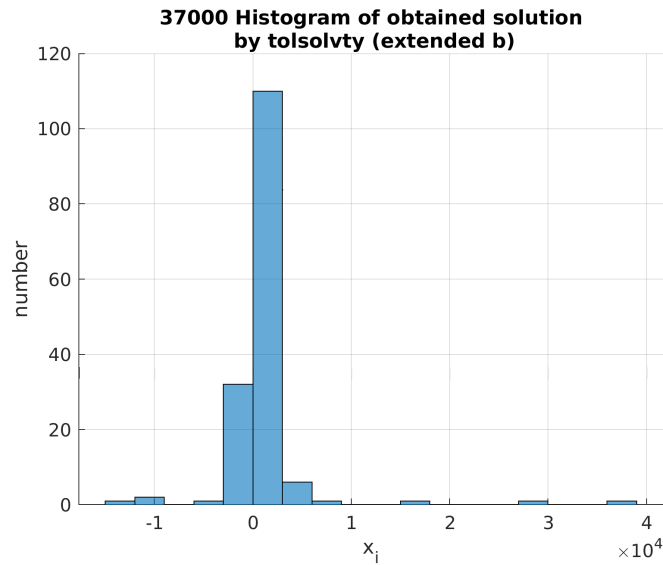


Рис. 5: Гистограмма решения, полученного с помощью функции *tolsolvty*

### 4.3 Оценка числа обусловленности интервальной матрицы $A$

В качестве оценки радиуса элементов матрицы  $A$  возьмём 10% от их величины. Выбор такого значения обусловлен тем, что это точность знания сепаратрисы, по которой построена матрица  $A$ . Рассмотрим значения оценки числа обусловленности для разного количества повторений при постоянном радиусе элементов 10%

```
fix radius, different number of iteration
rad = 0.1 HeurMinCond(A, 10) = 2.008224358626789e+16
rad = 0.1 HeurMinCond(A, 20) = 3.112295113402922e+16
rad = 0.1 HeurMinCond(A, 30) = 2.892131296414938e+16
rad = 0.1 HeurMinCond(A, 40) = 2.096838109302854e+16
rad = 0.1 HeurMinCond(A, 50) = 2.569437970419934e+16
rad = 0.1 HeurMinCond(A, 60) = 2.006277703217819e+16
rad = 0.1 HeurMinCond(A, 70) = 2.245900186140562e+16
rad = 0.1 HeurMinCond(A, 80) = 2.066637154114504e+16
rad = 0.1 HeurMinCond(A, 90) = 2.421265791587686e+16
rad = 0.1 HeurMinCond(A, 100) = 2.214231732078458e+16
```

Рис. 6: Значения числа обусловленности при изменении числа итераций

Рассмотрим значения оценки числа обусловленности для разных радиусов элементов  $A$  при постоянном числе итераций равным 100.

```

fix number of iteration, different radius
rad = 0.1 HeurMinCond(A, 100) = 2.68794841006769e+16
rad = 0.15 HeurMinCond(A, 100) = 2.665801131825306e+16
rad = 0.2 HeurMinCond(A, 100) = 2.661785974662393e+16
rad = 0.25 HeurMinCond(A, 100) = 2.38554481082195e+16
rad = 0.3 HeurMinCond(A, 100) = 2.945721174980176e+16
rad = 0.35 HeurMinCond(A, 100) = 2.359754161438948e+16
rad = 0.4 HeurMinCond(A, 100) = 2.617619681269532e+16
rad = 0.45 HeurMinCond(A, 100) = 2.046281938804106e+16
rad = 0.5 HeurMinCond(A, 100) = 2.1568321922126e+16

```

Рис. 7: Значения числа обусловленности при изменении радиуса элементов

Для полученного решения  $maxtol = 0$ , то и  $IVE(A, b) = 0$ .

## 5 Обсуждение

СЛАУ представляет собой матрицу  $256 \times N$ , где  $N$  – количество элементов разбиения. Матрица  $A$  крайне плохо обусловлена. Из-за этого матрица  $A^T A$  становится еще хуже обусловлена. Поэтому, получить стандартное решение с помощью формулы нельзя. Вторым методом решение было получено, но при этом сильно ослаблены условия на  $b$  и не гарантируется, что  $x \geq 0$ .

## 6 Литература

### Список литературы

- [1] А.Н. Баженов, Лабораторный практикум. Методический материал. «Вычислительные комплексы» [Электронный ресурс, облачное хранилище]. Режим доступа:  
<https://cloud.mail.ru/public/4ra6/5wwqBzMBC/LabPractices.pdf> (дата обращения: февраль, 2020 г.)
- [2] Код функции, извлекающей информацию о сепаратрисе [Электронный ресурс, облачное хранилище]. Режим доступа:  
<https://cloud.mail.ru/public/5o3T/4G4dD71hL> (дата обращения: февраль, 2020 г.)

## 7 Приложение

### 7.1 main.m

```

1 %%
2 clear all
3 point_ = get_point_interface();
4 element_ = get_element_interface();
5 detector_ = get_detector_interface();
6 %%
7 [flux, RBDY, ZBDY, NBDY, R, Z, time, rdim, zdim] = gfile_extractor_1t(34363, 000162, 65);
8 %%
9 % change the start of the crawl and change the detour of the separatrix to counter-hourly
10 % since the last point is equal to the first, let's take this into account
11 % a new beginning - the 32nd element
12 [RBDY, ZBDY] = circle_spin_and_reverse(RBDY, ZBDY, NBDY, 32);
13
14 [arr, ind_arr] = min(flux);

```

```

15 [flux_min, min_j] = min (arr);
16 min_i = ind_arr(min_j);
17 magnet_axis = [R(min_j), Z(min_i)];
18 %%
19 num_sectors = 8;
20 num_circle = 6;
21 cur_cut_y = RBDY;
22 cur_cut_z = ZBDY;
23 cur_magnet_axis = magnet_axis;
24
25 [R_segments_arr, Z_segments_arr, lines_start, lines_end] = get_web_grid(cur_cut_y, cur_cut_z
    , cur_magnet_axis, num_sectors, num_circle);
26 elements = create_element_from_grid(R_segments_arr, Z_segments_arr, lines_start, lines_end);
27 %% calculate partition grids of the separatrix in the cross section plane x = H
28 % H - distance from the center of the tokamak to the section plane
29 min_x_sep = min(RBDY);
30 max_x_sep = max(RBDY);
31 H = 0;
32 h = length(elements);
33 cut_elements = [];
34 left_cut_elem = [];
35 right_cut_elem = [];
36 for i = 1 : h
37     % the result of the intersection of the sector rotation shape and the x = H plane
38     [elem, count] = element_.get_cut(elements(i), H);
39     if(count == 2)
40         left_cut_elem = [left_cut_elem, elem(1)];
41         right_cut_elem = [right_cut_elem, elem(2)];
42     else
43         left_cut_elem = [left_cut_elem, elem];
44     end
45 end
46
47 cut_elements = [left_cut_elem, right_cut_elem];
48 %% magic constants
49 % angle between the pinhole camera direction and the center direction (between 8 and 9 beams
    )
50 ang = acos((708^2 + 720^2 - 31^2) / (2 * 708 * 720));
51 % position of the detector edge (1st column)
52 spd_start = [0, -0.708];
53 % position of the 16th column
54 spd_end = [0.72 * sin(ang), 0.72 * -cos(ang)];
55 % direction vector of the pinhole camera in the Equatorial plane
56 spd_vect = (spd_end - spd_start) / norm(spd_end - spd_start);
57 % step between columns in the detector plane, 2 numbers
58 spd_xy_step = [2.3375 - 0.88 , 3.81 - 2.3375 + 0.88 ] * 1e-03;
59 % the center of the detector
60 pp = spd_start + spd_vect * ((spd_xy_step(1) + spd_xy_step(2)) * 8 + 0.52 * 1e-03) / 2;
61 % aperture offset from the center of the detector
62 aperture_xy_offset = 0.0395;
63 % coordinate of the aperture
64 aperture_xy = [pp(1) - spd_vect(2) * aperture_xy_offset, pp(2) + spd_vect(1) *
    aperture_xy_offset];
65 spd_z_start = (27.52 - 0.49) / 2 * 1e-03;
66 spd_z_step = -1.72 * 1e-03;
67 spd_xy = spd_start + spd_vect * (spd_xy_step(2) / 2 + 0.26 * 1e-03);
68 %% detectors parametres
69 detector = detector_.create();
70 detector.start = point_.create(spd_start(1), spd_start(2));
71 detector.end = point_.create(spd_end(1), spd_end(2));
72 detector.step = spd_xy_step;
73 detector.direction = point_.create(spd_vect(1), spd_vect(2));
74 detector.center = point_.create(pp(1), pp(2));
75 detector.aperture_offset = 0.0395;
76 detector.aperture_pos = point_.create(aperture_xy(1), aperture_xy(2));
77 detector.z_start = spd_z_start;
78 detector.z_step = spd_z_step;
79 %%
80 element_num = length(elements);
81 hord_matrix = zeros(256, element_num);

```



```

82 cur_row = 1;
83 for cut_ind = 1 : 16
84     H = detector_.get_plane(detector, cut_ind);
85     cut_elements = [];
86     for i = 1 : element_num
87         [elem, count] = element_.get_cut(elements(i), H);
88         if(H < min_x_sep)
89             if(count == 2)
90                 cut_elements = [cut_elements, elem(2)];
91             else
92                 cut_elements = [cut_elements, elem];
93             end
94         else
95             cut_elements = [cut_elements, elem];
96         end
97     end
98     N = length(cut_elements);
99     for ray_ind=1 : 16
100         [k, b, det_pos, apper_pos] = detector_.get_ray(detector, 16, ray_ind);
101         for t = 1 : N
102             [hord, intersection] = element_.get_hord(cut_elements(t), k, b);
103             hord_matrix(cur_row, cut_elements(t).index) = hord_matrix(cur_row, cut_elements(
104                 t).index) + hord;
105             cur_row = cur_row + 1;
106         end
107     end
108
109 figure('Name', 'HORD MATRIX')
110 hold on
111 grid on
112 imagesc(hord_matrix);
113 title('37000 Hord Matrix');
114 colormap('Bone');
115 cm = colormap;
116 colormap(flipud(cm));
117 colorbar;
118 print('-dpng', '-r300', strcat('37000_hord_matrix', '.png'), pwd;
119 %%
120 input_file_name = strcat(num2str(37000), "_SPD16x16.mat");
121 input_data = load(input_file_name);
122 sign_bb = input_data.sign_bb(:, :, :);
123 cnt_meas = size(sign_bb, 3);
124 tp = cell2mat(input_data.Data(1, 2)) * 1e-3;
125 tz = cell2mat(input_data.Data(2, 2));
126 t_start = tz;
127 t_end = t_start + (cnt_meas - 1) * tp;
128 t_i = t_start : tp : t_end;
129 %% overview of integrated luminosity
130 t_cons_start = 125;
131 t_cons_end = 200;
132
133 dt_cons = 1;
134 start_efit_time_i = t_cons_start : dt_cons : t_cons_end;
135
136 B = [];
137 for start_efit_time = t_cons_start : t_cons_end
138     ind = find(abs(t_i - start_efit_time) < tp / 2);
139     b = [];
140     for i = 16 : -1 : 1
141         b = [b; sign_bb(16: -1 : 1, i, ind(1))];
142     end
143     b = double(b);
144     Bnew = sum(b(:));
145     B = [B, Bnew];
146 end
147 %% plot overview of integrated luminosity
148 figure('Name', 'LUMINOSITY OVERVIEW')
149 hold on
150 grid on

```

```

151 plot([t_cons_start : t_cons_end], B, 'LineWidth', 1);
152 title(['37000 SPD16x16.mat', ' Sum b']);
153 xlabel('start efite time');
154 print('-dpng', '-r300', strcat('37000_over_lum', '.png')), pwd;
155 %% select the "window" by which we calculate the boundaries of b
156 b_time_window = 1;
157 input_time_period = 000162;
158 b_data = [];
159 for start_efite_time = input_time_period - b_time_window : input_time_period + b_time_window
160     ind = find(abs(t_i - start_efite_time) < tp / 2);
161     b = [];
162     for i = 16 : -1 : 1
163         b = [b; sign_bb(16 : -1 : 1, i, ind(1))];
164     end
165     b = double(b);
166     b_data = [b_data, b];
167 end
168 N = length(b_data);
169 inf_b = zeros(N, 1);
170 sup_b = zeros(N, 1);
171 for i = 1 : N
172     inf_b(i) = min(b_data(i, :));
173     sup_b(i) = max(b_data(i, :));
174 end
175 %%
176 b = (sup_b + inf_b) / 2;
177 A = hord_matrix;
178 %% simple decision
179 simple_dec = inv(A' * A) * A' * b;
180 lambda = eig(A' * A);
181 disp(strcat("cond(A) = ", num2str(cond(A))));
182 disp(strcat("cond(A'A) = ", num2str(cond(A' * A))));
183 disp(strcat("number of lambda > 0.2: ", num2str(length(find(lambda > 0.2)))));
184
185 figure('Name', "EIG A'A")
186 hold on
187 grid on
188 histogram(lambda)
189 xlabel("lambda")
190 ylabel("number")
191 title("37000 Eigenvalue A'A")
192 print('-dpng', '-r300', strcat('37000_lambda', '.png')), pwd;
193 %% tolsolvty first
194 b_sup = sup_b;
195 b_inf = inf_b;
196 A_inf = A;
197 A_sup = A;
198 [tolmax, argmax, envs, ccode] = tolsolvty(A_inf, A_sup, b_inf, b_sup);
199 disp(strcat("tolmax = ", num2str(tolmax)));
200
201 figure('Name', "FIRST DECISION tolsolvty")
202 hold on
203 grid on
204 x_axis = 1 : length(b_sup);
205 y_axis = A_sup * argmax;
206 plot(x_axis, y_axis');
207 plot(x_axis, b_inf');
208 plot(x_axis, b_sup');
209 xlabel("i")
210 ylabel("value")
211 title("37000 First decision tolsolvty")
212 legend("Ax", "inf b", "sup b")
213 print('-dpng', '-r300', strcat('37000_first_tolsolvty', '.png')), pwd;
214 %% tolsolvty second
215 delta_b = - tolmax;
216 disp(strcat("delta b = ", num2str(delta_b)));
217 b_sup = b_sup + delta_b;
218 b_inf = b_inf - delta_b;
219 [tolmax, argmax, envs, ccode] = tolsolvty(A_inf, A_sup, b_inf, b_sup);
220 disp(strcat("tolmax = ", num2str(tolmax)));

```

```

221
222 figure('Name', "SECOND DECISION tolsolvty")
223 hold on
224 grid on
225 x_axis = 1 : length(b_sup);
226 y_axis = A_sup * argmax;
227 plot(x_axis, y_axis');
228 plot(x_axis, b_inf');
229 plot(x_axis, b_sup');
230 xlabel("i")
231 ylabel("value")
232 title("37000 Second decision tolsolvty (extended b)")
233 legend("Ax", "inf b", "sup b")
234 print('-dpng', '-r300', strcat('37000_second_tolsolvty', '.png')), pwd;
235 %% plot decision
236 figure('Name', "OBTAINED SOLUTION tolsolvty")
237 hold on
238 grid on
239 plot(argmax, "*", 'LineWidth', 1)
240 xlabel("i")
241 ylabel("x_i")
242 title("37000 Obtained solution by tolsolvty (extended b)")
243 print('-dpng', '-r300', strcat('37000_obt_sol', '.png')), pwd;
244 %% plot hist decision
245 figure('Name', "HISTOGRAM of OBTAINED SOLUTION tolsolvty")
246 hold on
247 grid on
248 histogram(argmax)
249 xlabel("x_i")
250 ylabel("number")
251 title(["37000 Histogram of obtained solution", " by tolsolvty (extended b)"])
252 print('-dpng', '-r300', strcat('37000_hist_obt_sol', '.png')), pwd;
253 %% fix radius, different number of iteration
254 disp("fix radius, different number of iteration")
255 matrix_radius = 0.1;
256 A_inf_1 = A * (1 - matrix_radius);
257 A_sup_1 = A * (1 + matrix_radius);
258 b_inf_1 = inf_b;
259 b_sup_1 = sup_b;
260 for i = 10 : 10 : 100
261     cond_A = HeurMinCond(A_inf_1, A_sup_1, i);
262     disp(strcat("rad = ", num2str(matrix_radius), " HeurMinCond(A, ", num2str(i), ") = ",
        num2str(cond_A)));
263 end
264 %% fix number of iteration, different radius
265 disp("fix number of iteration, different radius")
266 for rad = 0.1 : 0.05 : 0.5
267     A_inf_1 = A * (1 - rad);
268     A_sup_1 = A * (1 + rad);
269     b_inf_1 = inf_b;
270     b_sup_1 = sup_b;
271     cond_A = HeurMinCond(A_inf_1, A_sup_1, i);
272     disp(strcat("rad = ", num2str(rad), " HeurMinCond(A, ", num2str(i), ") = ", num2str(
        cond_A)));
273 end
274 %% calculate IVE
275 A_inf_1 = A * 0.9;
276 A_sup_1 = A * 1.1;
277 b_inf_1 = inf_b;
278 b_sup_1 = sup_b;
279
280 cond_A = HeurMinCond(A_inf_1, A_sup_1);
281 [tolmax_1, argmax_1, envs_1, ccode_1] = tolsolvty(A_inf_1, A_sup_1, b_inf_1, b_sup_1);
282 if (tolmax_1 < 0)
283     delta_b_1 = - tolmax_1;
284     b_inf_1 = b_inf_1 - delta_b_1;
285     b_sup_1 = b_sup_1 + delta_b_1;
286     [tolmax_1, argmax_1, envs_1, ccode_1] = tolsolvty(A_inf_1, A_sup_1, b_inf_1, b_sup_1);
287 end
288

```

```
289 A_IVE_1 = IVE(A_inf_1, A_sup_1, b_inf_1, b_sup_1, tolmax_1, argmax_1, length(argmax_1));
```